

ЦИФРОВАЯ СВЯЗЬ

УДК 621.391

АДАПТИВНОЕ ДЕКОДИРОВАНИЕ ДВУХМЕРНОГО КОДА ХЭММИНГА НА ОСНОВЕ АНАЛИЗА РАСПРЕДЕЛЕНИЯ ОШИБОК В ДЕКОДИРУЕМОЙ МАТРИЦЕ

С.Х. ЖЭНЬ, В.Ю. ЦВЕТКОВ, В.К. КОНОПЕЛЬКО

*Учреждение образования «Белорусский государственный университет информатики и радиоэлектроники»,
ул. П. Бровки, 6, Минск, 220013, Беларусь*

Поступила в редакцию 2 сентября 2022

Рассматривается задача повышения эффективности декодирования двухмерных помехоустойчивых кодов Хэмминга. Они строятся на базе обычных одномерных кодов Хэмминга, в которых на четыре информационных приходится три проверочных символа, и позволяют теоретически исправить до четырех ошибок. Однако, известные двухэтапные и трехэтапные декодеры обычного двухмерного кода Хэмминга гарантированно исправляют меньшее количество ошибок. Целью работы является достижение потенциальной корректирующей способности обычного двухмерного кода Хэмминга.

Ключевые слова: помехоустойчивое кодирование, двухмерные коды Хэмминга, двухэтапное декодирование, трехэтапное декодирование.

Введение. Для защиты данных от ошибок при передаче по каналам связи используется помехоустойчивое кодирование. При помехоустойчивом кодировании к передаваемым данным добавляется проверочная информация, позволяющая при декодировании обнаружить и исправить некоторое количество ошибок. Помехоустойчивые коды отличаются различной обнаруживающей, исправляющей способностью, избыточностью, вычислительной сложностью и имеют поэтому различную эффективность для определенных условий использования [1, 2]. При небольшой вероятности ошибки передачи и невысоких требованиях к безошибочной передаче данных могут использоваться простые помехоустойчивые коды, декодеры которых имеют низкую вычислительную сложность. К таким кодам относятся коды Хэмминга. Обычный код Хэмминга позволяет исправить одну ошибку в четырех информационных битах при добавлении к ним трех проверочных бит [3]. Для повышения корректирующих способностей предложены двухмерные коды Хэмминга [4]. Они строятся на базе обычных кодов Хэмминга и позволяют теоретически исправить до четырех ошибок. Однако известные декодеры обычного двухмерного кода Хэмминга гарантированно исправляют меньшее количество ошибок [4]. Для повышения корректирующей способности предложен расширенный код Хэмминга [3], двухмерная модификация которого гарантирует исправление четырех ошибок, но за счет значительного увеличения избыточности [5].

Целью исследования является достижение потенциальной корректирующей способности обычного двухмерного кода Хэмминга за счет улучшения схемы декодирования.

Постановка задачи. Код Хэмминга $C(n, k)$ имеет длину n бит, содержит k информационных и $r = n - k$ проверочных бит, позволяет обнаружить $t_D \leq d - 1$ и исправить $t_C \leq (d - 1)/2$ ошибок в любой позиции кодового слова при кодовой избыточности $h = r/n$ и скорости кода $R = k/n$, где d – минимальное кодовое расстояние, определяемое минимальным

числом позиций, на которых не совпадают все возможные пары кодовых слов кода $C(n, k)$ [6]. Обычный код Хэмминга имеет параметры $\{n=7, k=4\}$, обозначается $C(7,4)$, имеет $d=3$, позволяет обнаружить две и исправить одну ошибку при $h=3/7=0,43$ и $R=0,57$. Расширенный код Хэмминга $C(8,4)$ позволяет обнаружить три и исправить одну ошибку [3].

Для повышения корректирующей способности предложен двухмерный код Хэмминга $C_1(n_1, k_1) \cdot C_2(n_2, k_2)$ – код произведения. Он формируется на основе исходной информационной матрицы $D_{k_1 \cdot k_2}$ размером $k_1 \cdot k_2$ бит, которая расширяется до исходной кодовой матрицы $M_{n_1 \cdot n_2}$ размером $n_1 \cdot n_2$ бит за счет добавления к строкам, затем к столбцам по n_1 и n_2 проверочных бит соответственно [3]. При стандартных параметрах код $C_1(7,4) \cdot C_2(7,4)$ имеет $h=0,67$ и $R=0,33$, позволяет обнаружить до 8 и исправить до 4 ошибок. Двухмерный код, сформированный на основе расширенного кода Хэмминга $C(8,4)$, позволяет обнаружить до 15 и исправить до 7 ошибок при увеличении избыточности ($h=0,75$) и уменьшении скорости кода ($R=0,25$) [5]. При теоретическом пределе $(d_1 d_2 - 1)/2$ реальное количество исправляемых ошибок в двухмерном коде Хэмминга зависит от метода декодирования.

Двухэтапное декодирование (2 stage Hamming Decoder, HD2) двухмерных итеративных кодов [4] основано на формировании матриц синдромов строк $S_{n' r}^R = \underset{\mathbb{E}}{e}^R(j, p) \underset{\mathbb{U}}{\cup}_{(j=\overline{1, n}, p=\overline{1, r})}$ (на первом этапе) и столбцов $S_{n' r}^C = \underset{\mathbb{E}}{e}^C(i, p) \underset{\mathbb{U}}{\cup}_{(i=\overline{1, n}, p=\overline{1, r})}$ (на втором этапе) с помощью выражений:

$$S_{n' r}^R = \mathbb{M}_{n' n} H_{r' n}^T, \tag{1}$$

$$S_{n' r}^C = \underset{\mathbb{E}}{e}^C \mathbb{M}_{n' n}^{(1)} \underset{\mathbb{O}}{\circ} H_{r' n}^T, \tag{2}$$

где $H_{r' n}$ – проверочная матрица Хэмминга, $H_{r' n} = \underset{\mathbb{E}}{h}(j, i) \underset{\mathbb{U}}{\cup}_{(j=\overline{1, r}, i=\overline{1, n})}$; $\mathbb{M}_{n' n}$ – декодируемая матрица (формируется из исходной матрицы $M_{n' n}$ после передачи), $\mathbb{M}_{n' n} = \underset{\mathbb{E}}{m}(j, i) \underset{\mathbb{U}}{\cup}_{(j=\overline{1, n}, i=\overline{1, n})}$; $\mathbb{M}_{n' n}^{(1)}$ – декодированная на первом этапе кодовая матрица, $\mathbb{M}_{n' n}^{(1)} = \underset{\mathbb{E}}{m}^{(1)}(j, i) \underset{\mathbb{U}}{\cup}_{(j=\overline{1, n}, i=\overline{1, n})}$.

На основе синдромов формируются векторы ошибок строк $E_{n' 1}^R$ и столбцов $E_{n' 1}^C$ матриц $\mathbb{M}_{n' n}$ и $\mathbb{M}_{n' n}^{(1)}$, $E_{n' 1}^R = \underset{\mathbb{E}}{e}^R(j) \underset{\mathbb{U}}{\cup}_{(j=\overline{1, n})}$, $E_{n' 1}^C = \underset{\mathbb{E}}{e}^C(i) \underset{\mathbb{U}}{\cup}_{(i=\overline{1, n})}$. Значения элементов $e^R(j)$ ($e^C(i)$) указывают на номер ошибочного символа в j -й строке (i -м столбце) матрицы $\mathbb{M}_{n' n}$ $\underset{\mathbb{E}}{e}^C \mathbb{M}_{n' n}^{(1)} \underset{\mathbb{O}}{\circ}$ и вычисляются с помощью выражений:

$$e^R(j) = \underset{p=1}{\overset{r}{\mathbb{A}}} 2^{p-1} s^R(j, p), \tag{3}$$

$$e^C(i) = \underset{p=1}{\overset{r}{\mathbb{A}}} 2^{p-1} s^C(i, p). \tag{4}$$

На первом этапе значения элементов $\mathbb{M}_{n' n}^{(1)}(j, i)$ декодированной матрицы $\mathbb{M}_{n' n}^{(1)}$ определяются с помощью выражения:

$$H^{(1)}(j,i) = \begin{cases} m(j,i) & \text{при } i \neq e^R(j), \\ \bar{m}(j,i) & \text{при } i = e^R(j) \end{cases} \quad (5)$$

при $j = \overline{1,n}, i = \overline{1,n}$.

На втором этапе значения элементов $H^{(2)}(j,i)$ декодированной матрицы $M_{n'n}^{(2)}$ определяются с помощью выражения:

$$H^{(2)}(j,i) = \begin{cases} H^{(1)}(j,i) & \text{при } j \neq e^C(i), \\ \bar{H}^{(1)}(j,i) & \text{при } j = e^C(i) \end{cases} \quad (6)$$

при $j = \overline{1,n}, i = \overline{1,n}$.

Временная $C_T^{(HD2)}$ и пространственная $C_S^{(HD2)}$ сложности двухэтапного декодирования двумерного кода Хэмминга определяются с помощью выражений $C_T^{(HD2)} = 4n(m+r+2)$, $C_S^{(HD2)} = 2n(2(n+r) + \lceil \log_2(n) \rceil)$, где $\lceil \cdot \rceil$ – операция округления до целого с избытком.

Предложенная в [4] схема двухэтапного декодирования не позволяет исправить все варианты распределения 4-х ошибок в декодируемой матрице для обычного и расширенного кодов Хэмминга. На рис. 1 показаны фрагменты NCE1, NCE2 и NCE3 бинарной матрицы (образа) ошибок (единичные элементы указывают на ошибочные символы, нулевые элементы – на правильные символы), показывающие распределение 4-х ошибок в пространстве декодируемой матрицы для кодов $C_1(7,4) \sim C_2(7,4)$ и $C_1(8,4) \sim C_2(8,4)$, исправление которых невозможно. В поле матрицы 7×7 с учетом всех возможных вариантов перестановки строк и столбцов фрагмент NCE1 может быть представлен 441-ю способами, фрагменты NCE2 и NCE3 – 4410 способами каждый.

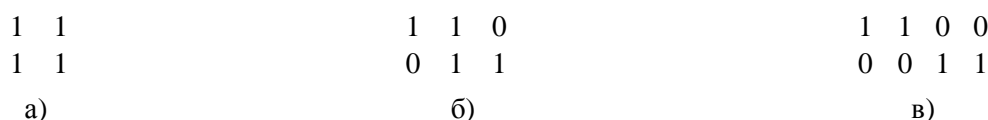


Рис. 1. Комбинации неисправляемых ошибок:
а – NCE1; б – NCE2; в – NCE3

Трехэтапное декодирование (3 stage Hamming Decoder, HD3) двумерных кодов Хэмминга [7] дополнительно к выражениям (1) – (6) описывается выражением, определяющим значения элементов $H^{(3)}(j,i)$ декодированной матрицы $M_{n'n}^{(3)}$ на третьем этапе декодирования:

$$H^{(3)}(j,i) = \begin{cases} H^{(2)}(j,i) & \text{при } i \neq e^{R3}(j), \\ \bar{H}^{(2)}(j,i) & \text{при } i = e^{R3}(j) \end{cases} \quad (7)$$

при $j = \overline{1,n}, i = \overline{1,n}$,

где $e^{R3}(j)$ – элемент вектора $E_{n'1}^{R3}$ ошибок строк в кодовой матрице $M_{n'n}^{(2)}$, формируемого на третьем этапе декодирования на основе матрицы синдромов $S_{n'r}^{R3}$ с помощью выражений, аналогичных (1) и (3), $S_{n'r}^{R3} = \hat{e}^{R3}(j,p) \dot{\cup}_{(j=\overline{1,n}, p=\overline{1,r})}$, $E_{n'1}^{R3} = \hat{e}^{R3}(j) \dot{\cup}_{(j=\overline{1,n})}$.

Временная $C_T^{(HD3)}$ и пространственная $C_S^{(HD3)}$ сложности трехэтапного декодирования двухмерного кода Хэмминга определяется аналогично двухэтапному декодированию с помощью выражений $C_T^{(HD3)} = 6n(rn + r + 2)$, $C_S^{(HD2)} = 3n(2(n + r) + \lceil \log_2(n) \rceil)$.

В случае декодирования расширенного кода Хэмминга $C_1(8,4) \text{ } ^\wedge \text{ } C_2(8,4)$ для вычисления синдромов используются выражения (1) и (2), но проверочная матрица $H_{r \times n}$ отличается от проверочной матрицы кода $C_1(7,4) \text{ } ^\wedge \text{ } C_2(7,4)$.

Временная $C_T^{(HD3E)}$ и пространственная $C_S^{(HD3E)}$ сложности трехэтапного декодирования расширенного кода Хэмминга определяются с помощью выражений $C_T^{(HD3E)} = n^2(6r + 4) + n(3r + 13) + 2$, $C_S^{(HD3E)} = 2(3n^2 + n(3r + \lceil \log_2(n) \rceil + 1))$.

Для кода Хэмминга $C_1(7,4) \text{ } ^\wedge \text{ } C_2(7,4)$ трехэтапное декодирование позволяет исправить все ошибки типа NCE3 (4410 ошибок) и большую часть ошибок типа NCE3 (3528 ошибок). Для кода Хэмминга $C_1(8,4) \text{ } ^\wedge \text{ } C_2(8,4)$ трехэтапное декодирование исправляет все возможные распределения 4-х ошибок в кодовой матрице $M_{8 \times 8}$. При этом по сравнению с кодом $C_1(7,4) \text{ } ^\wedge \text{ } C_2(7,4)$ в 1,12 раза увеличивается кодовая избыточность, в 1,32 раза уменьшается скорость кода, в 1,74 раза увеличивается временная и в 1,33 раза пространственная сложность. Таким образом, актуальной задачей является разработка декодера кода Хэмминга $C_1(7,4) \text{ } ^\wedge \text{ } C_2(7,4)$, исправляющего любые комбинации ошибок до 4-х включительно.

Адаптивное декодирование двухмерного кода Хэмминга. Важным свойством двухмерных кодов Хэмминга является независимость значений формируемой кодовой матрицы от очередности кодирования строк и столбцов [8]. С учетом данного свойства предлагается структура адаптивного декодера кода Хэмминга $C_1(7,4) \text{ } ^\wedge \text{ } C_2(7,4)$ на основе анализа распределения ошибок в строках и столбцах декодируемой матрицы $M_{n \times n}$ (RCDOS – Rows, Columns processing and error Deletions Order Selection). Сущность предлагаемого адаптивного декодирования состоит в выборе варианта обработки кодовых матриц на различных этапах декодирования в зависимости от соотношения количества ошибок N_E^R в строках и N_E^C в столбцах декодируемой матрицы $M_{n \times n}$ (рис. 2): а) декодирование строк, столбцов, строк (R-C-R) при $N_E^R > N_E^C$ или $N_E^R = N_E^C > 2$; б) декодирование столбцов, строк, столбцов (C-R-C) при $N_E^R < N_E^C$; в) стирание ошибок, декодирование строк (CLR-R) при $N_E^R = N_E^C \leq 2$.

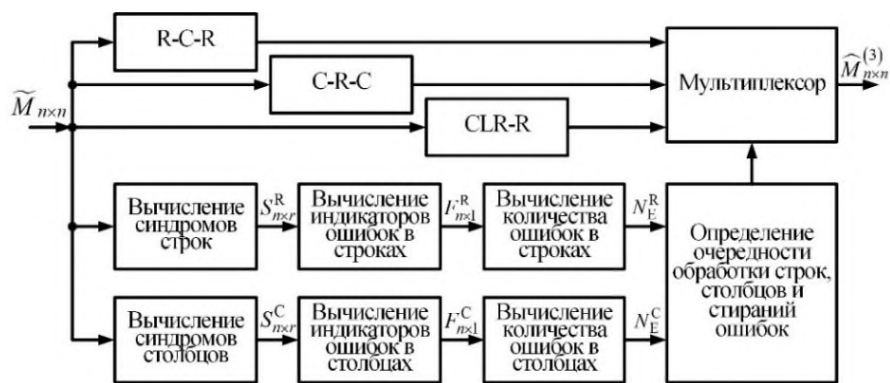


Рис. 2. Структура адаптивного декодера двухмерного кода Хэмминга $C_1(7,4) \text{ } ^\wedge \text{ } C_2(7,4)$

В результате формирования декодированной матрицы $\mathbb{M}_{n'n}^{(3)}$ описывается с помощью выражения:

$$\mathbb{M}_{n'n}^{(3)} = \begin{cases} \mathbb{F}_R \left(\mathbb{F}_C \left(\mathbb{F}_R \left(\mathbb{M}_{n'n} \right) \right) \right) \text{ при } (N_E^R > N_E^C) \dot{\cup} ((N_E^R = N_E^C) \dot{\cup} (N_E^R > 2)), \\ \mathbb{F}_C \left(\mathbb{F}_R \left(\mathbb{F}_C \left(\mathbb{M}_{n'n} \right) \right) \right) \text{ при } N_E^R < N_E^C, \\ \mathbb{F}_R \left(\mathbb{F}_{CLR} \left(\mathbb{M}_{n'n} \right) \right) \text{ при } (N_E^R = N_E^C) \dot{\cup} (N_E^R \notin 2), \end{cases}$$

где F_R – функция декодирования строк кодовой матрицы; F_C – функция декодирования столбцов кодовой матрицы; F_{CLR} – функция стирания ошибок, определяющая значения элементов $\mathbb{M}^{CLR}(j, i)$ декодированной матрицы $\mathbb{M}_{n'n}^{CLR}$ на основе значений элементов $\overset{\circ}{m}(j, i)$ декодируемой матрицы $\mathbb{M}_{n'n}$ и синдромов $S_{n'r}^R$ строк и $S_{n'r}^C$ столбцов с помощью выражения:

$$\mathbb{M}^{CLR}(j, i) = \begin{cases} \overset{\circ}{m}(j, i) \text{ при } (f^R(j) = 0) \dot{\cup} (f^C(i) = 0), \\ \overline{\overset{\circ}{m}(j, i)} \text{ при } (f^R(j) = 1) \dot{\cup} (f^C(i) = 1) \end{cases}$$

при $j = \overline{1, n}, i = \overline{1, n}$,

где $f^R(j)$, $f^C(i)$ – индикаторы ошибок в строках и столбцах декодируемой матрицы – элементы векторов $F_{n'1}^R = \overset{\circ}{\mathbf{e}} f^R(j) \dot{\cup}_{(j=\overline{1, n})}$ и $F_{n'1}^C = \overset{\circ}{\mathbf{e}} f^C(i) \dot{\cup}_{(i=\overline{1, n})}$ индикаторов ошибок, определяемые с помощью выражений:

$$f^R(j) = \begin{cases} 0 \text{ при } \overset{\circ}{\mathbf{a}} \overset{r}{s^R}(j, p) = 0, \\ 1 \text{ при } \overset{\circ}{\mathbf{a}} \overset{r}{s^R}(j, p) > 0, \end{cases} \quad f^C(i) = \begin{cases} 0 \text{ при } \overset{\circ}{\mathbf{a}} \overset{r}{s^C}(i, p) = 0, \\ 1 \text{ при } \overset{\circ}{\mathbf{a}} \overset{r}{s^C}(i, p) > 0 \end{cases}$$

при $j = \overline{1, n}, i = \overline{1, n}$.

Значения N_E^R и N_E^C вычисляются с помощью выражений $N_E^R = \overset{\circ}{\mathbf{a}} \overset{n}{f^R}(j)$

и $N_E^C = \overset{\circ}{\mathbf{a}} \overset{n}{f^C}(i)$ при $j = \overline{1, n}, i = \overline{1, n}$.

Из декодированной матрицы $\mathbb{M}_{n'n}^{(3)}$ выделяется декодированная информационная подматрица $\mathbb{B}_{k'k}$, соответствующая исходной информационной матрице $D_{k'k}$.

Временная $C_T^{(RCDOS)}$ и пространственная $C_S^{(RCDOS)}$ сложности предложенного адаптивного декодирования двумерного кода Хэмминга определяются с помощью выражений $C_T^{(RCDOS)} = 10rn^2 + 8rn + 18n + 5$, $C_S^{(RCDOS)} = 8n^2 + 10rn + n(2 + 3 \overset{\circ}{\mathbf{e}} \log_2(n)) \dot{\cup} + 2$.

Для кода Хэмминга $C_1(7,4) \dot{\cup} C_2(7,4)$ можно получить, что $C_T^{(RCDOS)} = 2268$ и $C_S^{(RCDOS)} = 681$. Адаптивное декодирование проигрывает трехэтапному декодированию кода Хэмминга $C_1(7,4) \dot{\cup} C_2(7,4)$ во временной сложности в 2,08 раза, в пространственной сложности в 1,41 раза. По сравнению с трехэтапным декодированием расширенного кода

Хэмминга $C_1(8,4)$ и $C_2(8,4)$ проигрыш адаптивного декодирования составляет 1,19 раза во временной сложности и 1,06 раза в пространственной сложности.

Оценка эффективности декодеров двумерного кода Хэмминга. Проведены исследования трех декодеров двумерного кода Хэмминга $C_1(7,4)$ и $C_2(7,4)$: двухэтапного HD2 [1], трехэтапного HD3 [2] и предложенного RCDOS, для которых определены значения вероятностей блочных $P_{BE}(HD2)$, $P_{BE}(HD3)$, $P_{BE}(RCDOS)$ и битовых $P_E(HD2)$, $P_E(HD3)$, $P_E(RCDOS)$ ошибок. Вероятности ошибок определяются в равных условиях для каналов трех типов: аналогового с белым гауссовым шумом и контролируемым значением R_{SN} отношения сигнал-шум; цифрового симметричного с контролируемым значением P_{TE} вероятности битовой ошибки передачи; цифрового с контролируемым значением N_{BTE} количества ошибочных бит в каждом передаваемом кодовом блоке.

На рис. 3 приведены зависимости вероятностей блочных и битовых ошибок на выходе декодера от отношения R_{SN} сигнал-шум в аналоговом канале с белым гауссовым шумом. Из них следует, что при изменении R_{SN} в диапазоне [1, 3] адаптивный декодер RCDOS обеспечивает существенное снижение вероятностей ошибок: блочных – в 2,4–16,7 раз по сравнению с HD2 и в 1,2–5,5 раза по сравнению с HD3; битовых – в 1,5–6,1 раза по сравнению с HD2 и в 1,3–3,0 раза по сравнению с HD3.

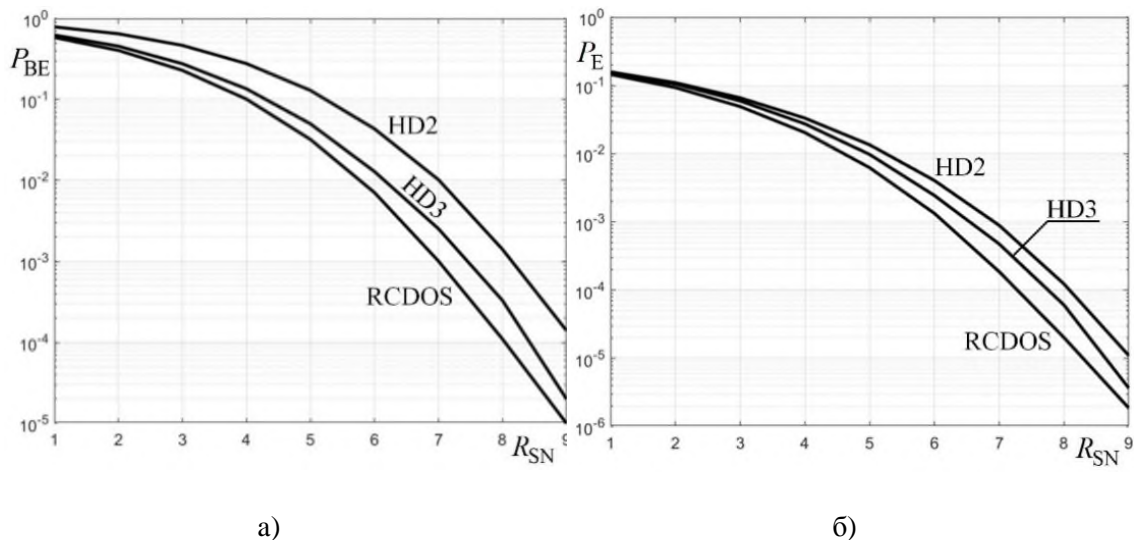


Рис. 3. Зависимости вероятностей ошибок декодирования от R_{SN} для модели аналогового канала с белым гауссовым шумом:

а – для блочных ошибок; б – для битовых ошибок

Аналогичные зависимости получены для цифрового симметричного канала с контролируемым значением P_{TE} вероятности битовой ошибки передачи. Из них следует, что при изменении P_{TE} в диапазоне [0,1, 0,03] адаптивный декодер RCDOS обеспечивает существенное снижение вероятностей ошибок: блочных – в 2,9–8,0 раз по сравнению с HD2 и в 1,2–2,0 раза по сравнению с HD3; битовых – в 1,7–3,3 раза по сравнению с HD2 и в 1,4–2,0 раза по сравнению с HD3.

В табл. для цифрового канала передачи с контролируемым значением N_{BTE} количества ошибочных бит в каждом передаваемом кодовом блоке приведены значения количества блочных ошибок на выходе декодера и рассчитанные на их основе значения вероятностей ошибок для N_{BTE} битовых ошибок передачи в каждом кодовом блоке B_1^{49} . Для $N_{BTE}=[1, 4]$ использованы все $49!/((49 - N_{BTE})!N_{BTE}!)$ возможных комбинаций ошибок. Для $N_{BTE}=[5, 10]$

использованы 300 000 случайных кодовых комбинаций, каждая из которых или не содержит ошибок, или содержит ровно $N_{\text{ВТЕ}}$ ошибочных бит.

Таблица

Характеристики декодеров для модели цифрового канала передачи с контролируемым значением количества ошибочных бит в каждом передаваемом кодовом блоке

$N_{\text{ВТЕ}}$	$N_{\text{ВЕ}}$	Количество ошибок на выходе декодера			Вероятность ошибки на выходе декодера		
		HD2	HD3	RCDOS	HD2	HD3	RCDOS
1	49	0	0	0	0,00	0,00	0,00
2	1176	0	0	0	0,00	0,00	0,00
3	18424	0	0	0	0,00	0,00	0,00
4	211876	9261	1323	0	$1,67 \times 10^{-11}$	$2,35 \times 10^{-12}$	0,00
5	£ 300000	55497	10949	5584	$1,85 \times 10^{-1}$	$3,65 \times 10^{-2}$	$1,86 \times 10^{-2}$
6		126283	37416	18847	$4,21 \times 10^{-1}$	$1,23 \times 10^{-1}$	$6,28 \times 10^{-2}$
7		201927	90915	54419	$6,73 \times 10^{-1}$	$3,03 \times 10^{-1}$	$1,81 \times 10^{-1}$
8		256916	165576	133169	$8,56 \times 10^{-1}$	$5,52 \times 10^{-1}$	$4,44 \times 10^{-1}$
9		283679	232975	221631	$9,46 \times 10^{-1}$	$7,77 \times 10^{-1}$	$7,39 \times 10^{-1}$
10		294158	272692	271361	$9,81 \times 10^{-1}$	$9,09 \times 10^{-1}$	$9,05 \times 10^{-1}$

Из табл. следует, что предложенный декодер RCDOS, в отличие от декодеров HD2 и HD3, исправляет все ошибки кратностью 4. При ошибках большей кратности декодер RCDOS показывает лучшую исправляющую способность по сравнению с декодерами HD2 и HD3.

Заключение. Для достижения потенциальной корректирующей способности обычного двухмерного кода Хэмминга предложены структура адаптивного декодера и математическая модель декодирования, основанные на анализе распределения ошибок в декодируемой матрице. Их отличием от известных структур является выбор одного из трех вариантов обработки кодовых матриц на различных этапах декодирования: а) декодирование строк, столбцов, строк при преобладании ошибок в строках или при равном количестве более двух ошибок в строках и столбцах декодируемой матрицы; б) декодирование столбцов, строк, столбцов при преобладании ошибок в столбцах декодируемой матрицы; в) стирание ошибок, декодирование строк при равном количестве менее трех ошибок в строках и столбцах декодируемой матрицы. Данные отличия позволили исправить все ошибки кратностью четыре и повысить исправляющую способность при ошибках большей кратности по сравнению с двухэтапным и трехэтапным декодированием.

ADAPTIVE DECODING OF A TWO-DIMENSIONAL HAMMING CODE BASED ON THE ANALYSIS OF THE DISTRIBUTION OF ERRORS IN THE DECODED MATRIX

X.H. REN, V.YU. TSVIATKOU, V.K. KANAPELKA

Abstract

The problem of increasing the efficiency of decoding two-dimensional error-correcting Hamming codes is considered. They are built on the basis of conventional one-dimensional Hamming codes, in which there are three check symbols per four information symbols, and theoretically allow up to four errors to be corrected. However, known two-stage and three-stage decoders of the conventional two-dimensional Hamming code are guaranteed to correct fewer errors. The aim of the work is to achieve the potential corrective ability of the conventional two-dimensional Hamming code.

Список литературы

1. Mercier, H. A survey of error-correcting codes for channels with symbol synchronization errors / H. Mercier, V. K. Bhargava, V. Tarokh // *IEEE Communications Surveys & Tutorials*. – 2010. – № 1 (12). – P. 87–96.
2. Jeong, S. Iterative Channel Detection With LDPC Product Code for Bit-Patterned Media Recording / S. Jeong, J. Lee // *IEEE Transactions on Magnetics*. – 2017. – № 11 (53). – P. 1–4.
3. Hamming, R. W. Error detecting and error correcting codes / R. W. Hamming // *Bell System Technical Journal*. – 1950. – № 2 (29). – P. 147–160.
4. Elias, P. Error-free coding / P. Elias // *IEEE Trans Inf Theory*. – 1954. – № 4 (4). – P. 29–37.
5. Chiaraluce, F. Extended Hamming product codes analytical performance evaluation for low error rate applications / F. Chiaraluce, R. Garello // *IEEE Transactions on Wireless Communications*. – 2004. – № 6 (3). – P. 2353–2361.
6. Chitode, J. S. Digital communications / J. S. Chitode // *Technical Publications*. – 2020. – 653 p.
7. Bo, F. On Hamming Product Codes with Type-II Hybrid ARQ for On-Chip Interconnects / F. Bo, P. Ampadu // *IEEE Transactions on Circuits and Systems I*. – 2009. – Vol. 56. – № 9. – P. 2042–2054.
8. Shu, L. Error Control Coding / L. Shu, J. Daniel. – 2004. – 1886 p.